

PQ機構としてのバリオン数の破れ

津村 浩二 (九州大)

素粒子物理学の進展 2021 [基研研究会] 9月6-10日

Baryon number non-conservation as Peccei-Quinn mechanism

T. Ohata, K. Takeuchi, K. Tsumura

[Phys. Rev. D104, 035026 \(2021\) hep-ph/2104.14139](#)

目次

- 標準模型と偶発的対称性
- 強いCP問題とPQ機構
- PQ機構とレプトン数の破れ
- PQ機構とバリオン数の破れ
- まとめ

標準模型と偶発的対称性

標準模型とグローバル対称性

- くりこみ可能な範囲： $\mathcal{L}_{\text{SM}} = \mathcal{L}_{\text{quarks}} + \mathcal{L}_{\text{leptons}} + \dots$

偶発的なグローバル対称性として： $B\#$ (バリオン数)， $L\#$ (レプトン数)

$$\begin{cases} Q \rightarrow e^{i\theta_B/3} Q \\ u_R \rightarrow e^{i\theta_B/3} u_R \\ d_R \rightarrow e^{i\theta_B/3} d_R \end{cases} \quad \begin{cases} L \rightarrow e^{i\theta_L} L \\ e_R \rightarrow e^{i\theta_L} e_R \end{cases}$$

- 量子論の範囲：“B-L” (量子効果により~~B#~~, ~~L#~~)

$$\partial_\mu j_B^\mu = \partial_\mu j_L^\mu = n_g \left(\frac{g^2}{32\pi^2} W^{a\mu\nu} \tilde{W}_{\mu\nu}^a - \frac{g'^2}{32\pi^2} F^{\mu\nu} \tilde{F}_{\mu\nu} \right)$$

- 非くりこみ可能な範囲 (高次演算子)：**BSMの持つ対称性を反映!**

レプトン数の破れと高次演算子

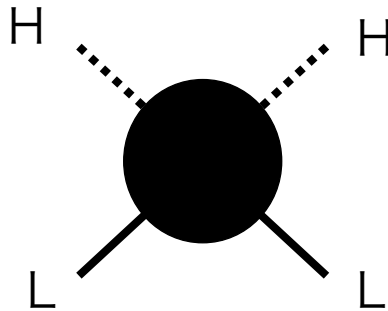
- SMの粒子場で高次演算子を書く。

$$\mathcal{O}_5 = \overbrace{LL}^{(1,2)_{-1/2}} \overbrace{HH}^{(1,2)_{+1/2}}$$

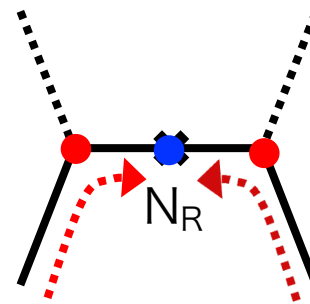
レプトン数を破る次元5の演算子

→ 重い自由度を積分して非くりこみ可能演算子を得た

UVモデルを指定しない記述



UVモデルによる記述



$$\mathcal{L} = Y_N \bar{L} \tilde{H} N_R + \frac{1}{2} M_N \overline{N_R^c} N_R + \text{H.c.}$$

レプトン数の定義 レプトン数の破れ

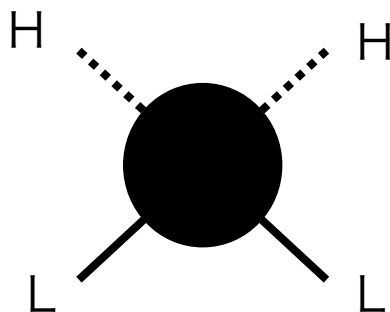
レプトン数の破れとニュートリノ質量

- 未知の新物理がマヨラナニュートリノを预言

$$\mathcal{L}_{\text{eff}} = \frac{1}{\Lambda} \mathcal{O}_5 + \text{H.c.} \Rightarrow \frac{1}{2} M_\nu \overline{\nu}_L^c \nu_L + \text{H.c.}$$

新物理を知らなくても高次演算子から新物理の预言が議論できる

UV模型を指定しない記述



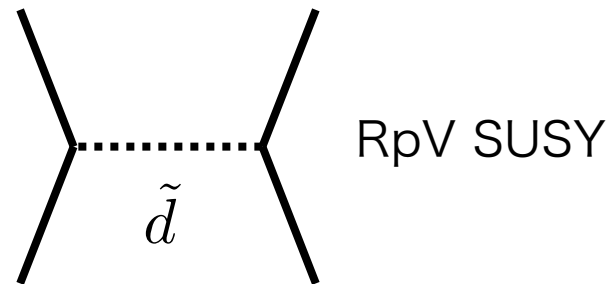
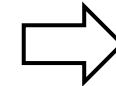
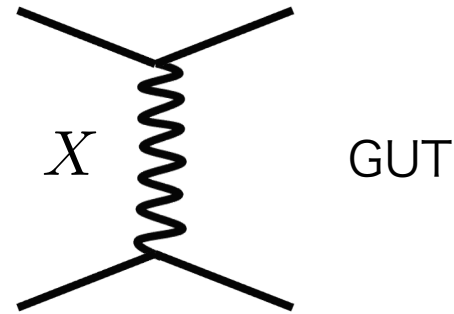
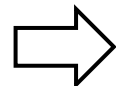
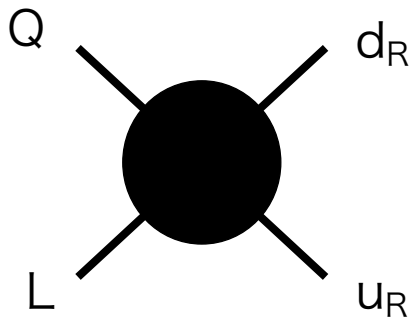
- ✓ UV模型は高次演算子を適切に分解することで得られる。
- ✓ ツリーで分解するシーソーが3タイプ。
- ✓ ループを通じて分解する輻射型シーソーが多数。
- ✓ 輻射型では暗黒物質などと関係する模型もできる。

バリオン数の破れと高次演算子

- SMの粒子場で高次演算子を書く。

$$\mathcal{O}_6 = u_R d_R Q L, \dots \quad \text{バリオン数を破る次元6の演算子}$$

$(3, 1)_{-2/3}$ $(3, 1)_{+2/3}$ $(3, 2)_{+1/6}$



新物理と対称性

- 高次演算子の例

$$\mathcal{O}_5 = LLHH$$

→ $0\nu 2\beta$ (M_ν)

$$\mathcal{O}_6 = u_R d_R Q L, \dots$$

→ 核子崩壊

$$\mathcal{O}_7 = u_R d_R d_R L^c H^c, \dots$$

L# **B#** BSMの対称性

×₂ ○ “B”保存

×₁ **×₁** “B-L”保存

×₋₁ **×₁** “B+L”保存

L#やB#はSMの偶発的対称性に過ぎない

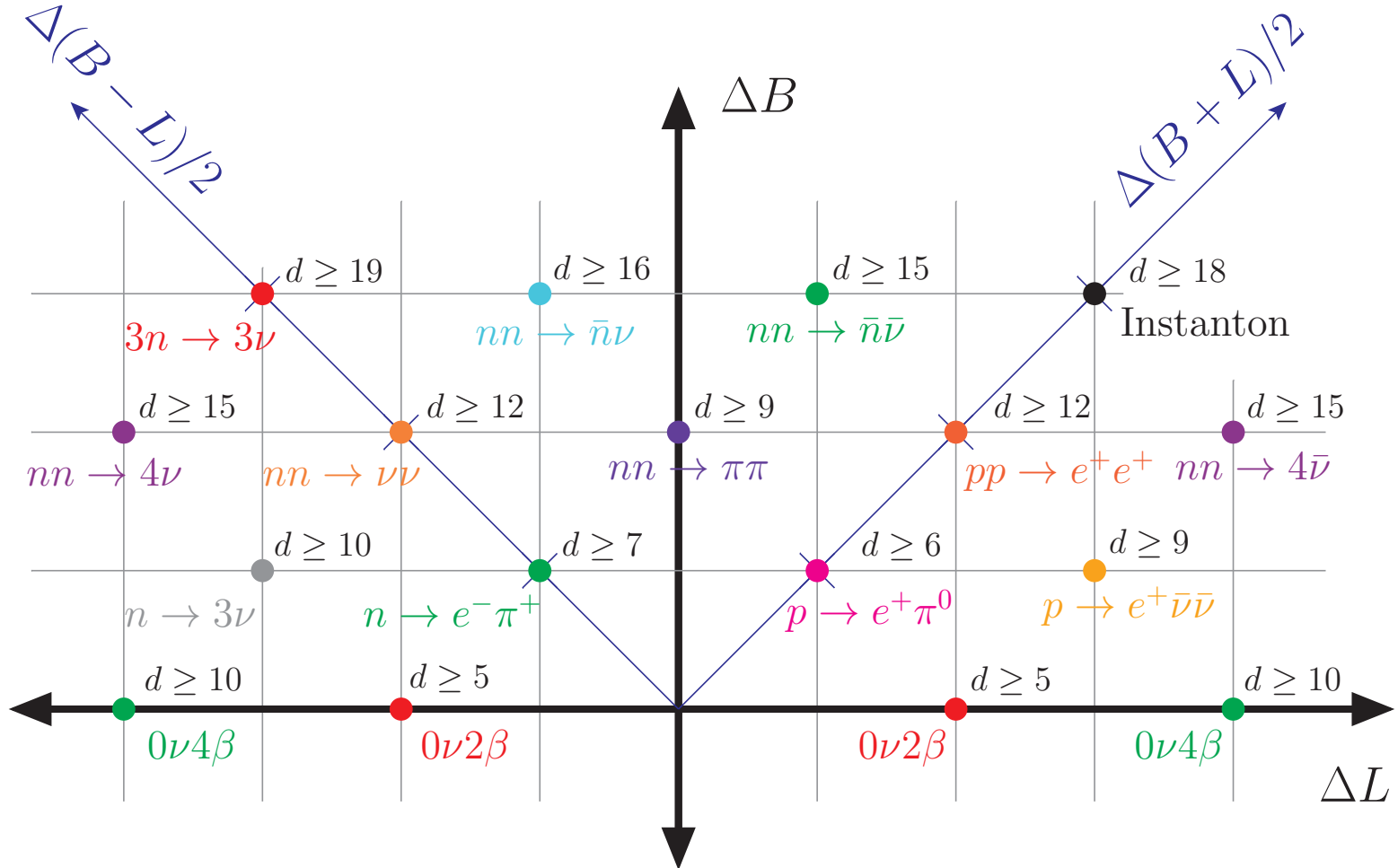
BSMの信号 → 核子崩壊

BSMの対称性で制御できる

レプトン数やバリオン数にもとづく新物理モデルは作れないか？

新物理と対称性

Heeck, Takhistov (19)



強いCP問題とPQ機構

強いCP問題

- QCDはCPが破れているのが普通

$$\mathcal{L}_{\text{QCD}} = -\frac{1}{4}G_a^{\mu\nu}G_{\mu\nu}^a - \theta \frac{\alpha_s}{8\pi}G_a^{\mu\nu}\tilde{G}_{\mu\nu}^a + \sum_q \bar{q}(i\not{D} - M_q e^{i\theta_q})q$$

左巻き場と右巻き場の位相を再定義(カイラル変換)すると

$$\begin{cases} q_L \rightarrow e^{-i\theta_q/2}q_L \\ q_R \rightarrow e^{+i\theta_q/2}q_R \end{cases} \Rightarrow \bar{\theta} = \theta - \sum_q \theta_q$$

- ✓ カイラル対称性はクォークの質量項で破れているため、カイラル変換で質量項の位相が消せる。
- ✓ 一方で、カイラル変換をすると θ 項におつりが出る。
- ✓ クォークの質量行列は一般に複素。KM位相の存在も明らかなのでCPは破れるのが普通。

しかし, 中性子のEDMの測定から $d_n/e \sim 10^{-15}\bar{\theta} < 1.9 \times 10^{-26}$ ($\bar{\theta} \lesssim 10^{-11}$)

不自然なまでに小さい! 背後に物理?

PQ対称性

- カイラル対称性を新たなスカラー場で回復させる。

$$\mathcal{L}_{\text{PQ}} = -\frac{1}{4} G_a^{\mu\nu} G_{\mu\nu}^a - \theta \frac{\alpha_s}{8\pi} G_a^{\mu\nu} \tilde{G}_{\mu\nu}^a + \sum_q \left\{ \bar{q} i \not{D} q - (y \bar{q}_L \phi q_R + \text{H.c.}) \right\}$$

カイラル変換で θ 項が変えられるので、そのおつりを複素スカラー場に吸収させる
 $(q \rightarrow e^{-i\gamma_5 \theta_q} q)$

場の再定義で消せるので、もはやパラメタ θ は物理的でない

PQ対称性

$$\begin{cases} q_L \rightarrow e^{-i\theta_q/2} q_L \\ q_R \rightarrow e^{+i\theta_q/2} q_R \\ \phi \rightarrow e^{-i\theta_q} \phi \end{cases}$$

- ✓ 左巻きと右巻きの変換が異なっていればなんでもよい
- ✓ Diracラグランジアンはベクトル的なバリオン数も保存するので、
 適当な再定義で軸性ベクトル的なカイラル変換ともみなせる
 axial

axion (NGB)

- 有効ラグランジアン $\phi(x) = (f_a + \sigma(x)) e^{i a(x)/f_a}$

$$\mathcal{L}_{\text{eff}} = \mathcal{L}_{\text{QCD}} + \frac{1}{2} (\partial_\mu a)^2 + (\theta - a/f_a) \frac{\alpha_s}{8\pi} G \tilde{G} + \dots$$

NGBはポテンシャルを持たない \Leftrightarrow NGBはシフト対称性を持つ

PQWWアクションの棄却

- SMの複素スカラーはヒッグス二重項

- ✓ 対称性の破れに伴う3つのNGBはW/Zで吸収される。

- Θ 項を消すNGBが残らない。

- ✓ グローバル対称性を持つ2HDM : axion = CP-odd Higgs

- Θ 項を消せる PQ対称性の破れがEWスケール! $f_a = \sqrt{v_u^2 + v_d^2}$

$$\mathcal{L}_{2\text{HDM}} = +\bar{Q}Y_u H_u u_R + \bar{Q}Y_d H_d d_R - V(H_u, H_d) \leftarrow +\lambda_5 \cancel{(H_u^\dagger H_d)}^2$$

- 予言 : $\mathcal{B}(K^+ \rightarrow \pi^+ a) \approx \frac{f_\pi^2}{f_a^2} \times \mathcal{B}(K^+ \rightarrow \pi^+ \pi^0) \sim 10^{-5}$ 当時ですら棄却

- (見えない)DFSZアクション

$$H_u^T (i\sigma_2) H_d (S^*)^2 \Rightarrow f_a = \sqrt{v_S^2 + v_u^2 v_d^2 / v_S^2} \quad \text{大きな真空期待値で制限を回避}$$

Zhitnitsky (80), Dine-Fischler-Srednicki (81)

KSVZ模型

● 見えないアクシオンの別の例

✓ PQ対称性はSM一重項のみで破る

✓ カラーを持つ新フェルミオンに対するカイラル対称性

$$S = \frac{f_a + \sigma}{\sqrt{2}} e^{i a(x)/f_a}$$

$$\mathcal{L}_{\text{KSVZ}} = Y_\Psi S \bar{\Psi}_L \Psi_R + \text{H.c.} \quad \left\{ \begin{array}{l} \Psi \rightarrow e^{-i\gamma_5 \alpha} \Psi \\ S \rightarrow e^{-2i\alpha} S \end{array} \right.$$

QCDでやった例を全て新粒子で置き換えただけ

新粒子のレプトン数やバリオン数はまったくの未定義

	S	Ψ_L	Ψ_R
$SU(3)_C$	1	3 (6, 8, ...)	3 (6, 8, ...)
$SU(2)_L$	1	1 (2, 3, ...)	1 (2, 3, ...)
$U(1)_Y$	0	—	—
$U(1)_{PQ}$	-2	-1	+1
$U(1)_\Psi$	0	+1	+1
$U(1)_L$	—	—	—
$U(1)_B$	—	—	—

新フェルミオンに対するカイラル対称性

新フェルミオンのバリオン数のようなもの

$$\alpha Q_{PQ} + \beta Q_\Psi$$

線形結合も対称性を保つので、 S のチャージと
 Ψ_L or Ψ_R のチャージが非ゼロであることが重要

PQ機構とレプトン数の破れ

PQ = L#

- シーソー模型を介してレプトン数を課す方法

$$M_N \rightarrow y_N S \quad \mathcal{L} = Y_N \bar{L} \tilde{H} N_R + \frac{1}{2} M_N \bar{N}_R^c N_R + \text{H.c.}$$

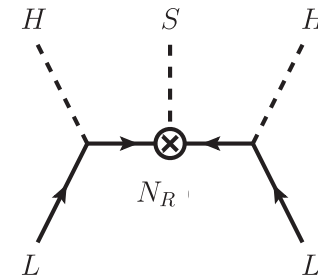
レプトン数の定義 レプトン数の破れ

→ PQ対称性とレプトン数対称性を同一視：Majoraxion (**Majoron** = Axion)

レプトン数の破れのNGB

あまり本質的でないが、どちらも比較的大きな中間エネルギースケールが必要な物理でそれらを統合できる

	S	Ψ_L	Ψ_R
$SU(3)_C$	1	3 (6, 8, ...)	3 (6, 8, ...)
$SU(2)_L$	1	1 (2, 3, ...)	1 (2, 3, ...)
$U(1)_Y$	0	—	—
$U(1)_{PQ}$	-2	-1	+1
$U(1)_\Psi$	0	+1	+1
$U(1)_L$	-2	—	—
$U(1)_B$	—	—	—

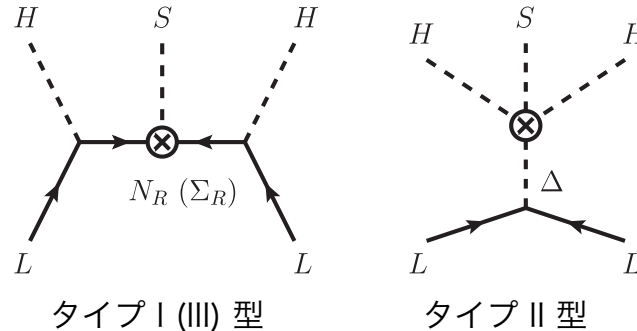


PQチャージと同じにとれる

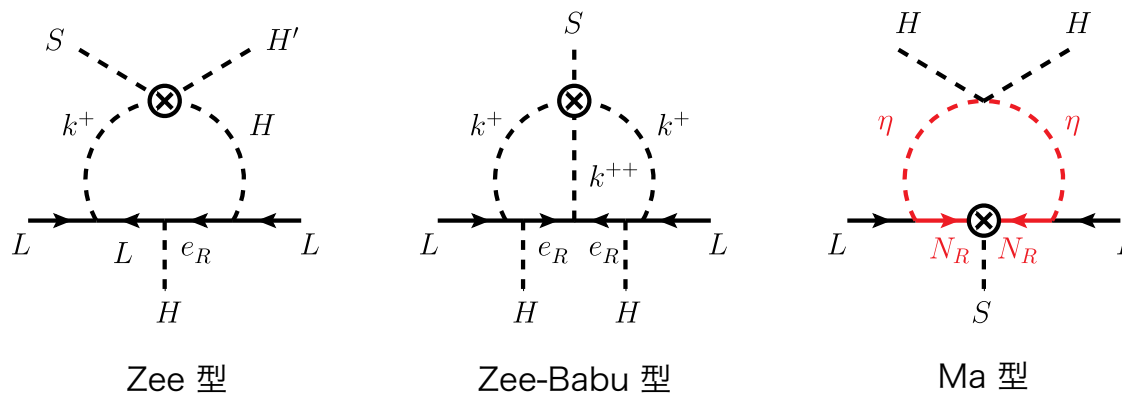
(異なっても良いが線形結合を取り直せば同じ)

Majoraxion模型の亜種

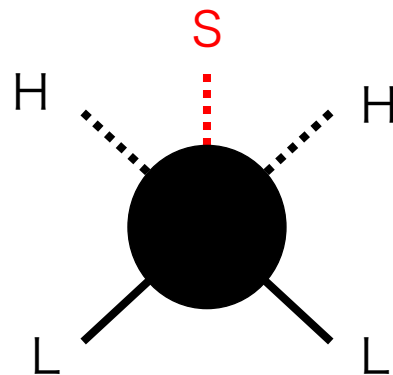
- 他のタイプのシーソー模型でも Majoraxion 模型化できる



- 輻射シーソーでも同様

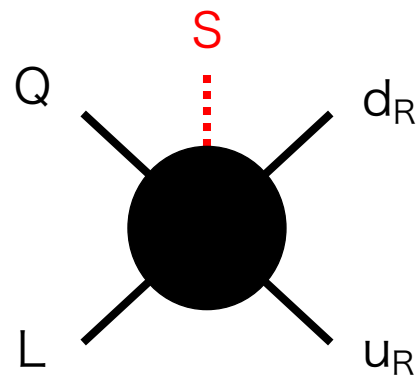


PQ機構とレプトン数の破れ



PQ機構とバリオン数の破れ

PQ機構とバリオン数の破れ



この例ではレプトン数も破る

バリオン数の決定

- S がKSVZクォークと湯川結合を持つことを仮定する

$$\mathcal{L}_{\text{KSVZ}} = Y_{\Psi} S \bar{\Psi}_L \Psi_R + \text{H.c.}$$

- S のレプトン数とバリオン数は高次演算子を導入して決定する

$$\mathcal{L}_{\text{eff}} = \kappa S^* u_R d_R Q L + \text{H.c.} \quad \text{このとき, 理論はB\#とL\#のそれぞれを保存する}$$

- S が真空期待値を持つと $U(1)_B \times U(1)_L \rightarrow U(1)_{B-L}$

	S	Ψ_L	Ψ_R
$SU(3)_C$	1	$\mathbf{3} (\mathbf{6}, \mathbf{8}, \dots)$	$\mathbf{3} (\mathbf{6}, \mathbf{8}, \dots)$
$SU(2)_L$	1	$\mathbf{1} (\mathbf{2}, \mathbf{3}, \dots)$	$\mathbf{1} (\mathbf{2}, \mathbf{3}, \dots)$
$U(1)_Y$	0	—	—
$U(1)_{PQ}$	-2	-1	+1
$U(1)_{\Psi}$	0	+1	+1
$U(1)_L$	+1	—	—
$U(1)_B$	+1	—	—

B+Lの破れに伴うNGBが axion になる

レプトン数は最初から破っておくこともできる

$$\mathcal{L} = Y_N \bar{L} \tilde{H} N_R + \frac{1}{2} M_N \bar{N}_R^c N_R + \text{H.c.}$$

この場合には, $PQ = B\#$

Sakhaxion (Axion = Sakharon)

バリオン数の決定

- KSVZクォークのバリオン数を決定する

$$\mathcal{O}'_{\text{mix}} = \{ \overline{Q} \tilde{H} \Psi_R^U, \overline{\Psi}_L^U u_R, \overline{Q} H \Psi_R^D, \overline{\Psi}_L^D d_R \} \quad \text{これらの演算子のどれかを選ぶ}$$

通常のKSVZ模型： KSVZクォークのSMクォークへの崩壊を許すために、
KSVZクォークとSMクォークのB#が同じになるように演算子を導入する

- 今の場合、SのB#が決まっているので、上の方法で決めたのと異なるカイラリティのKSVZクォークのB#は湯川を通じて決まる

	S	Ψ_L	Ψ_R
SU(3) _C	1	3 (6, 8, ...)	3 (6, 8, ...)
SU(2) _L	1	1 (2, 3, ...)	1 (2, 3, ...)
U(1) _Y	0	—	—
U(1) _{PQ}	-2	-1	+1
U(1) _Ψ	0	+1	+1
U(1) _L	+1	0	-1
U(1) _B	+1	+1/3	-2/3

具体例：
 $B(\Psi_R^U) = -2/3, L(\Psi_R^U) = -1$

$$\mathcal{L} = -y_\Psi S \overline{\Psi}_L^{Ua} \Psi_R^{Ua} + \kappa S^* u_R d_R Q L - \mu_U^i \overline{\Psi}_L^{Ua} u_{iR}^a + \text{H.c.}$$

$B(\Psi_L^U) = +1/3, L(\Psi_L^U) = 0$

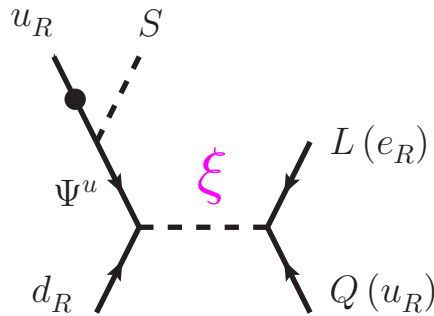
$B(S) = +1, L(S) = +1$

くりこみ可能な模型 : PQ = B+L

● 有効演算子をくりこみ可能な演算子に分解する

Majoraxion模型の亜種で説明したようにツリー, ループ, 入れる粒子によってたくさんの可能性がある

■ 追加のスカラーを1つだけ導入する例 (チャージは読み取っていけばよい)



$$\mathcal{L} = - y_{\Psi} S \overline{\Psi}_L^{Ua} \Psi_R^{Ua} - \mu_U^i \overline{\Psi}_L^{Ua} u_{iR}^a - y_{\Psi D}^i \epsilon_{abc} \xi^a \overline{(\Psi_R^{Ub})}^C d_{iR}^c$$

$$- \left[+ y_{QL}^{ij} \overline{(Q_i^a)}^C (i\sigma_2) L_j + y_{UE}^{ij} \overline{(u_{iR}^a)}^C e_{Rj} \right] (\xi^a)^* + \text{H.c.}$$

レプトクォーク

B-Lを保存する

● 陽子崩壊を预言する

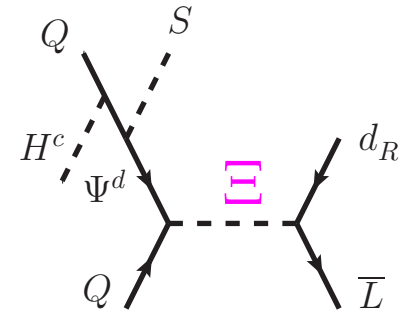
$$\mathcal{L}_{\text{eff}} = \kappa \langle S^* \rangle u_R d_R Q L + \text{H.c.} \quad \kappa = -\frac{\mu_U y_{\Psi D} y_{QL}}{M_{\Psi} M_{\xi}^2}$$

$$\tau_{p \rightarrow \pi^0 e^+} \simeq (2.4 \times 10^{34} \text{ yrs}) \times \left(\frac{0.2}{\mu_U / M_{\Psi}} \right)^2 \left(\frac{1}{|y_{\Psi D}|} \right)^2 \left(\frac{1}{|y_{q\ell}|} \right)^2 \left(\frac{M_{\xi}}{2.0 \times 10^{15} \text{ GeV}} \right)^4$$

SKの制限で規格化

- ✓ 模型のパラメタの不定性は多い
- ✓ 典型的なレプトクォークの質量はPQスケールより大きい

くりこみ可能な模型 : PQ = B-L



- 次元7の高次演算子を出発点にとる

$$\mathcal{O}_8 = S^* \mathcal{O}'_7 = S^* (d_R Q Q \bar{L} H^*) \quad \text{出発点の演算子は B+L を保存している}$$

■ 追加のスカラーを1つだけ導入する例

$$\mathcal{L} = -y_\Psi S^* \overline{\Psi}_L^{Da} \Psi_R^{Da} - y_D^i \overline{Q}_i^a H \Psi_R^{Da} - y_{\Psi Q}^i \epsilon_{abc} \Xi^a (\overline{\Psi}_L^{Db})^c Q_i^c - y_{LD}^{ij} (\Xi^a)^* \overline{L}_i^a d_{jR}^a + \text{H.c.}$$

レプトクォーク

B+Lを保存する

- 前の例とは異なる陽子崩壊を预言する

$$\tau_{p \rightarrow K + \nu_i} \simeq (6.6 \times 10^{33} \text{ yrs}) \times \left(\frac{10^{-9}}{\frac{y_D v_{EW}}{\sqrt{2}} / M_\Psi} \right)^2 \left(\frac{1}{|y_{\Psi Q}|} \right)^2 \left(\frac{1}{|y_{LD}|} \right)^2 \left(\frac{M_\Xi}{8.5 \times 10^{10} \text{ GeV}} \right)^4$$

SKの制限で規格化

- ✓ 荷電レプトンへの崩壊モードはない
- ✓ π への崩壊もちろんあるがKの方が制限が強い
- ✓ ヒッグス真空期待値の挿入により反応率が抑制される
- ✓ 典型的なレプトクォークの質量はPQスケールより小さい

Ohata模型

- 次元9の高次演算子を出発点にとる

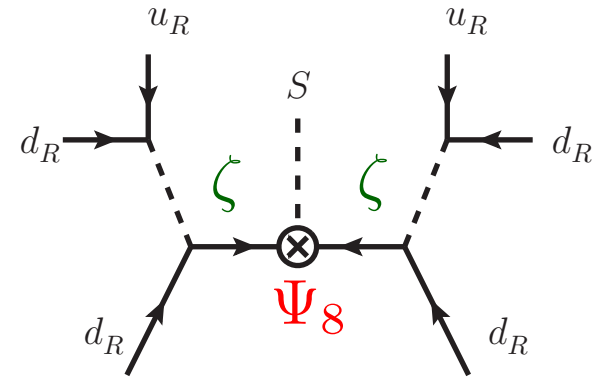
中性子-反中性子振動 ($\Delta B=2$) を引き起こす演算子

- KSVZクォークは**カラー-8表現**を選ぶ

c.f. Ma 07, gluino-axion

- 追加のスカラー(ダイクォーク)を1つだけ導入する

$$\mathcal{L} = -\frac{1}{2} y_8 S^* (\overline{\Psi_{8L}^A})^C \Psi_{8L}^A - y_\zeta^{ij} \epsilon_{abc} (\zeta_a)^* (\overline{u_{iR}^b})^C d_{jR}^c - y_{8D}^i \zeta_a (T^A)^a_b \overline{\Psi_{8L}^A} d_{iR}^b + \text{H.c.}$$



- 中性子-反中性子振動を预言する

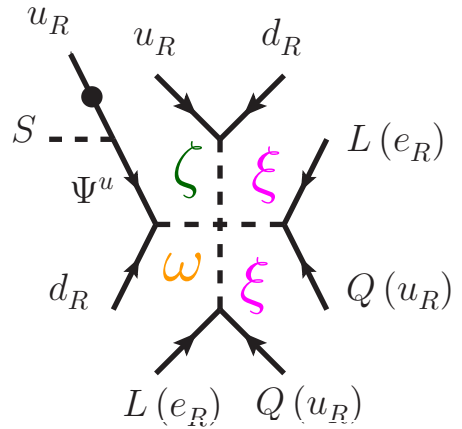
$$\mathcal{L}_{\text{eff}}^{\Delta B=2} = \frac{y_\zeta^{ij} y_\zeta^{kl} y_{8D}^m y_{8D}^n}{12 M_\zeta^4 M_8} (\overline{u_{iR}^a})^C d_{jR}^b (\overline{u_{kR}^c})^C d_{lR}^d (\overline{d_{mR}^e})^C d_{nR}^f + \text{H.c.}$$

$$\tau_{n\bar{n}} = \Gamma_{n\bar{n}}^{-1} = (7 \times 10^8 \text{ s}) \times \left(\frac{M_\zeta}{400 \text{ TeV}} \right)^4 \left(\frac{M_8}{400 \text{ TeV}} \right) \left(\frac{1}{|y_\zeta^{11}|} \right)^2 \left(\frac{1}{|y_{8d}^1|} \right)^2$$

SKの制限: $> 4.7 \times 10^8 \text{ s}$

- ✓ 新粒子の典型的な質量はPQスケールよりずっと小さい
- ✓ が, 加速器で作れるほどでもない
- ✓ フレーバー実験とはよい勝負なので, 湯川の構造が制限される

Takeuchi模型



● 次元12の高次演算子を出発点にとる

二重核子崩壊 ($\Delta B = \Delta L = 2$) を引き起こす演算子

- $\langle S \rangle$ はこれまでの模型とは異なる $B\#$ と $L\#$ を破るので, ξ や ζ を導入しても陽子崩壊や中性子反中性子振動は起こらない
- さらに **テトラクォーク** を導入すれば, くりこみ可能に分解できる

$$\begin{aligned} \mathcal{L} = & -y_\Psi S \overline{\Psi}_L^{Ua} \Psi_R^{Ua} - \mu_U^i \overline{\Psi}_L^{Ua} u_{iR}^a - \left[y_{QL}^{ij} \overline{(Q_i^a)^C} (i\sigma_2) L_j + y_{UE}^{ij} \overline{(u_{iR}^a)^C} e_{jR} \right] (\xi^a)^* \\ & - \epsilon_{abc} \left[y_{QQ}^{ij} \overline{(Q_i^b)^C} (i\sigma_2) Q_j^c + y_{UD}^{ij} \overline{(u_{iR}^b)^C} d_{jR}^c \right] (\zeta_a)^* - y_{\Psi D}^i \epsilon_{abc} \overline{(\Psi_R^{Ua})^C} d_{iR}^b \omega^c \\ & - \lambda' \xi^a \xi^b \zeta_a (\omega^b)^* + \text{H.c.} \end{aligned}$$

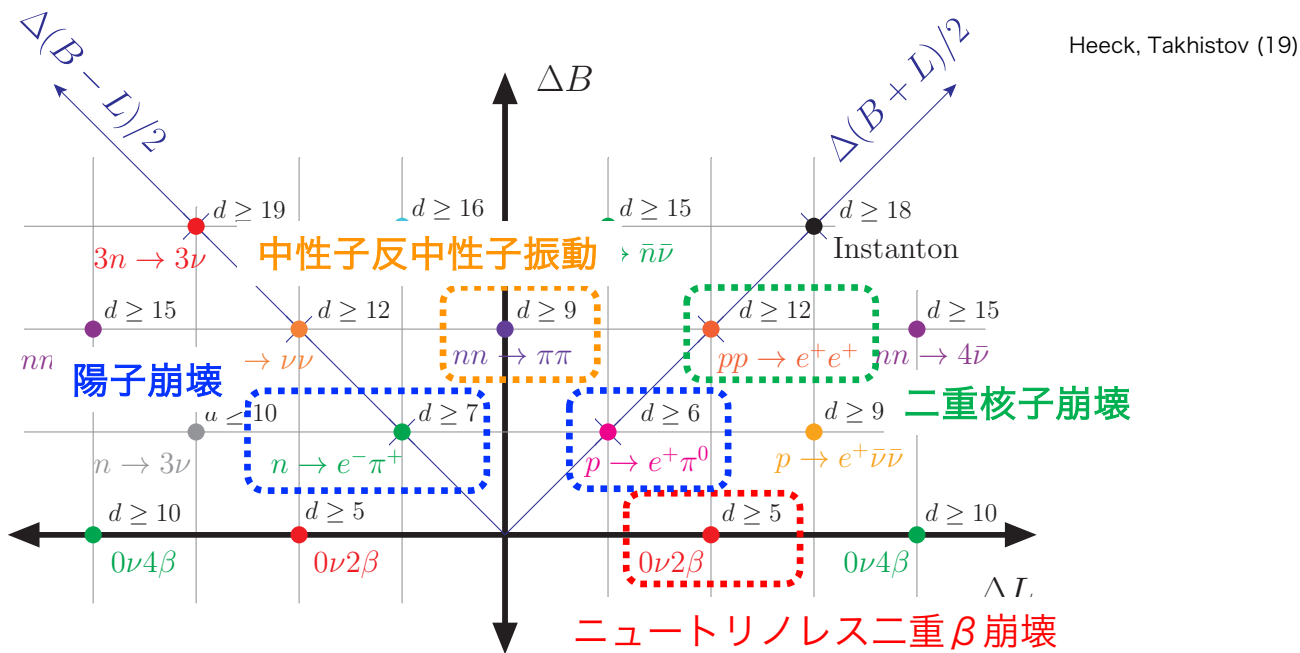
● 二重核子崩壊を预言する 陽子は崩壊しないが, 重陽子は崩壊する

$$\begin{aligned} \tau_{pp \rightarrow e^+ e^+} = \Gamma_{pp \rightarrow e^+ e^+}^{-1} \simeq & (5 \times 10^{33} \text{ yrs}) \times \left(\frac{M_\omega}{2 \text{ TeV}} \right)^4 \left(\frac{M_\zeta}{2 \text{ TeV}} \right)^4 \left(\frac{M_\xi}{2 \text{ TeV}} \right)^8 \\ \text{SKの制限: } & > 4.2 \times 10^{33} \text{ s} \times \left(\frac{0.2}{\mu_U^1 / M_\Psi} \right)^2 \left(\frac{1}{|\lambda'|} \right)^2 \left(\frac{1}{|y_{UD}^{11}|} \right)^2 \left(\frac{1}{|y_{UE}^{11}|} \right)^4 \left(\frac{1}{|y_{\Psi D}^1|} \right)^2 \end{aligned}$$

- ✓ 加速器実験での制限も期待できる
- ✓ フレーバー実験はとても厳しく湯川の構造を制限する

まとめ

- $PQ = \alpha B + \beta L$
- レプトン数やバリオン数を手がかりに新物理を探るのが面白そう



- ハイパーカミオカンデ計画は開始した！ (ターゲットはたくさん)